

Санкт-Петербургский государственный университет

Кафедра системного программирования

Группа 22.М07-мм

Символьное исполнение с использованием искусственного интеллекта

Нигматулин Максим Владиславович

Отчёт по учебной практике
в форме «Производственное задание»

Научный руководитель:
д.ф.-м. н., доцент кафедры системного программирования Мордвинов Д.А.

Консультант:
к.ф.-м., доцент кафедры информатики Григорьев С.В.

Санкт-Петербург
2023

Оглавление

Введение	3
1. Термины	5
1.1. Символьное исполнение и анализ программ	5
1.2. Машинное обучение	5
1.3. Графы	6
2. Обзор	7
2.1. Q-KLEE	7
2.2. LEARCH	7
2.3. SyML	8
2.4. Automatic Heuristic Learning	8
3. Постановка задачи	9
4. Описание предлагаемого решения	10
4.1. Игровая аналогия	10
4.2. Графовая нейронная сеть	11
4.3. Архитектура фреймворка	13
4.4. Машинное обучение	15
5. Реализация	17
6. Эксперимент	18
6.1. Условия эксперимента	18
6.2. Исследовательские вопросы	18
6.3. Метрики	18
6.4. Результаты	18
7. Применение	20
Заключение	21
Список литературы	22

Введение

Тестирование программного обеспечения — обязательная часть промышленных проектов и критической программно-аппаратной инфраструктуры и распространенный метод проверки качества ПО. Однако в большинстве случаев написание тестов — труд, выполняемый командой разработчиков. Сокращение затрат на проверку ПО может быть достигнуто путем автоматической генерации тестов. Одна из техник, которые могут быть использованы для автоматизации генерации тестов программного обеспечения — символьное исполнение [10].

Символьное исполнение — это техника анализа ПО, позволяющая выполнить программу не с конкретными входами, а с их символьным представлением. В процессе символьного исполнения сохраняются условия пути, обновляющиеся при каждом исполнении инструкции ветвления, чтобы получить ограничения на входы, с которыми исполнение достигает текущей точки программы. Если целевая или конечная инструкция достигнута и система условий пути имеет решение, то из символьных переменных с ограничениями генерируются конкретные значения, которые затем используются для генерации теста.

Техника показала себя в задаче верификации кода ядра Windows [5], на данный момент существует несколько инструментов, позволяющих использовать символьное исполнение для решения промышленных задач [9, 16].

Одно из ограничений метода символьного исполнения — экспоненциальное увеличение количества (“взрыв”) путей, которые нужно исследовать, чтобы покрыть заданные инструкции. Один из способов борьбы с такой проблемой — использование алгоритмов выбора путей [14] для приоритизации исполнения участков кода, наиболее вероятно приближающих символьную машину к наибольшему тестовому покрытию.

В последние годы сообщество активно разрабатывает подходы для создания алгоритма выбора путей, основанные на машинном обучении [11, 15, 18], однако все еще существуют техники, которые способны внести значительный вклад в создание качественного решения.

Целью проекта является реализация фреймворка, осуществляющего обучение нейронных сетей решению задачи выбора путей основываясь на структуре графа программы.

1. Термины

1.1. Символьное исполнение и анализ программ

Граф потока управления (CFG). Простейшей единицей потока управления является базовый блок — последовательность прямой, или безветвистой, последовательности максимальной длины. Операции в блоке всегда выполняются вместе, если только какая-либо операция не вызывает исключение. Блок начинается с операции с меткой и заканчивается операцией ветвления, перехода или предиката. Управление поступает в базовый блок на первой операции. Операции выполняются в порядке, соответствующем порядку сверху вниз в блоке. Выход управления осуществляется на последней операции блока. CFG является направленным графом, имеет вершину для каждого базового блока и ребро для каждой возможной передачи управления. CFG моделирует поток управления между базовыми блоками в процедуре [1].

Направленный поиск — техника поиска определенной инструкции в графе исполнения (в отличие от ненаправленного поиска, который ведется до выполнения какого-либо условия).

Статистический анализ кода — анализ кода, производимый без исполнения программы (в отличие от динамического анализа).

Тестовое покрытие — отношение покрытых тестами инструкций к общему количеству инструкций, в процентах.

Зона покрытия — множество инструкций в методе, которые нужно покрыть тестами.

1.2. Машинное обучение

Эвристический алгоритм (эвристика) — алгоритм решения задачи, не являющийся гарантированно точным или оптимальным, но достаточный для решения поставленной задачи. Позволяет ускорить решение задачи в тех случаях, когда точное решение не может быть найдено.

Генетический алгоритм — это эвристический алгоритм поиска,

используемый для решения задач путём случайного подбора, комбинирования и изменения параметров с использованием механизмов, аналогичных естественному отбору в природе. В процессе работы генетического алгоритма создаётся множество случайных агентов начальной популяции, каждый из которых оценивается **fitness-функцией** («функцией приспособленности») и получает свое значение **fitness** («приспособленности») [4].

Q-learning — это алгоритм обучения с подкреплением, позволяющий определять предпочтительность действия из набора возможных действий для каждого состояния системы [17]. Информация о предпочитаемых действиях в определенных состояниях хранится в **Q-table**, которая обновляется по ходу обучения: каждый шаг алгоритма должен быть отмечен наградой, которая изменяет значение предпочтительности для совершаемого шага.

1.3. Графы

Гетерогенный граф — особый вид информационной сети, содержащий либо несколько типов объектов, либо несколько типов связей [8].

Отношение доминирования на графе определяется следующим образом: вершина v доминирует над вершиной $w \neq v$ в графе G , если любой путь из r в w содержит v [12].

2. Обзор

Существует несколько решений, использующих машинное обучение для создания алгоритма выбора путей.

2.1. Q-KLEE

В данном подходе авторы используют Q-learning для контроля символьного исполнения. Первым шагом авторы получают доминаторы графа исполнения по отношению к определенным инструкциям с помощью статического анализа. Позитивная награда в процессе обучения возвращается только в том случае, когда символьный исполнитель вошел в вершину-доминатор, иначе возвращается негативная награда. Первичные эксперименты авторов показывают, что для достижения целевой инструкции требуется в среднем на 90% меньше шагов по сравнению с базовой стратегией в KLEE [18].

Стоит отметить, что при заявленной эффективности подход не может быть использован в качестве алгоритма выбора путей без модификаций, так как результирующий алгоритм стремится к определенным инструкциям, а не исследует граф исполнения.

2.2. LEARCH

Другой известный подход с использованием машинного обучения — LEARCH. Авторы утверждают, что LEARCH способен выбирать перспективные состояния символьного исполнения для решения проблемы взрыва путей. LEARCH оценивает вклад каждого состояния в максимизацию покрытия в выданный квант времени, в отличие от использования эвристик, созданных вручную и основанных на простых статистиках, грубо аппроксимирующих целевой алгоритм [11].

Для выбора путей исполнения авторы LEARCH предлагают использовать фреймворк для обучения нейронной сети, которая будет служить как механизм выбора пути. Однако данный подход не учитывает информацию о структуре графа исполнения.

2.3. SyML

Данный подход позволяет отслеживать пути исполнения уязвимых программ и извлекать соответствующие признаки: обращения к регистрам и памяти, сложность функций, системные вызовы для поиска путей. Авторы обучают модели для изучения паттернов уязвимых путей на основе извлеченных признаков и используют их предсказания для обнаружения уязвимых путей исполнения в новых программах [15].

Однако данный подход платформозависим и не переносим, так как в разных языках могут быть разные уязвимости.

2.4. Automatic Heuristic Learning

В данном подходе авторы представляют решение для автоматической генерации эвристик для символьного исполнения. Ручная разработка хорошей поисковой эвристики нетривиальна и обычно приводит к неоптимальным и нестабильным результатам. Цель данной работы — преодоление этого недостатка путем автоматического обучения эвристикам поиска. Авторы представляют алгоритм, который эффективно находит оптимальную эвристику для каждой исследуемой программы [2].

Тем не менее, отсутствие оптимальной эвристики на редкий случай, время на подбор могут значительно сказаться на эффективности подхода.

Выводы:

Существует множество подходов, использующих машинное обучение для решения задачи выбора путей. Однако на данный момент не разработан платформонезависимый подход с использованием машинного обучения, который бы использовал информацию о структуре графа исполнения для определения предпочтительных путей.

3. Постановка задачи

Цель работы: реализовать фреймворк, выполняющий генерацию моделей-учителей в ходе обучения с помощью символьной машины V \sharp [19].

Поставленные задачи:

1. Создать протокол общения с сервером обучения для получения сигнала об окончании взаимодействия, информации о награде за шаг и состоянии символьного исполнения во время обучения;
2. Создать фреймворк, использующий генетическое обучение для создания и обучения нейронных сетей во время взаимодействия с сервером обучения как с игровой средой;
3. Поддержать возможность одновременного обучения нескольких нейронных сетей;
4. Поддержать возможность использования GPU для ускорения работы нейронных сетей.

4. Описание предлагаемого решения

В процессе работы символьной машине на каждом шаге необходимо выбрать состояние, которое попробовать “подвинуть” по графу. При этом конечная цель — сгенерировать тесты, обеспечивающие максимальное тестовое покрытие, сделав при этом минимальное количество таких шагов. Выбор состояния на каждом шаге управляется эвристиками, так как заранее знать, какое из них приведёт к успеху, невозможно [14]. Предлагается в качестве такой эвристики использовать нейронную сеть, которая по графу, описывающему текущее состояние всей символьной машины, будет предсказывать, какое состояние исполнения сейчас выгоднее всего “подвинуть”.

Для обучения подобной нейронной сети не подойдут типичные методы: во-первых, невозможно подготовить набор размеченных данных, так как для текущего состояния символьной машины не существует единственно верный ход [14]; во-вторых, необходимо предсказывать состояние исполнения, а это величина по которой невозможно построить градиентный спуск. Потому предлагается рассмотреть процесс работы символьной машины как игру и применить методы генетического обучения.

4.1. Игровая аналогия

Граф (состояние символьной машины) — это состояние игрового мира, оно доступно игроку. Состояния исполнения — “фишки” на этом графе. Ход игрока — выбрать, какое состояние-фишку подвинуть. Мир в ответ двигает выбранное состояние лишь ему известным образом и как-то меняет состояние мира. За каждый ход игроку полагается награда. Задача игрока — за наименьшее количество ходов “покрыть” наибольшее количество вершин графа.

4.2. Графовая нейронная сеть

Для эффективного извлечения отношений между узлами графа предлагается использовать графовые нейронные сети [6]. Состояние символической машины можно описать как множества блоков инструкций-вершин, посещенных или доступных для посещения, и множества состояний-фишек, которые двигаются по блокам-вершинам. Такую информацию можно представить в виде гетерогенного графа: графа из вершин и ребер различных типов.

На рисунке 1 изображен входной граф модели: гетерогенный граф, содержащий структуру графа исполнения и состояний исполнителя. Для каждой вершины сохраняются следующие атрибуты:

1. VisitedByState — вершина посещена состоянием и состояние вышло из нее;
2. TouchedByState — вершина посещена состоянием, но состояние из нее не вышло;
3. InCoverageZone — вершина в зоне покрытия;

Для каждой вершины с состоянием граф хранит следующие атрибуты:

1. PathConditionSize — размер условия пути, считается как размер логического выражения;
2. VisitedAgainVertices — количество повторно посещенных вершин;
3. VisitedNotCoveredVerticesInZone — количество посещенных и не покрытых вершин в зоне покрытия;
4. VisitedNotCoveredVerticesOutOfZone — количество посещенных и не покрытых блоков вне зоны покрытия;

Во входном графе существует четыре типа ребер:

1. Ребенок состояния — ориентированное ребро, указывающее на состояния, порожденные текущим;

2. A находится в B — существует между состоянием и вершиной, если состояние находится в вершине;
3. Наследник вершины — ориентированное ребро, указывающее на блоки инструкций, которые нужно исполнить после текущего;
4. Ребро истории — ребро, содержащее количество посещений блока данным состоянием.

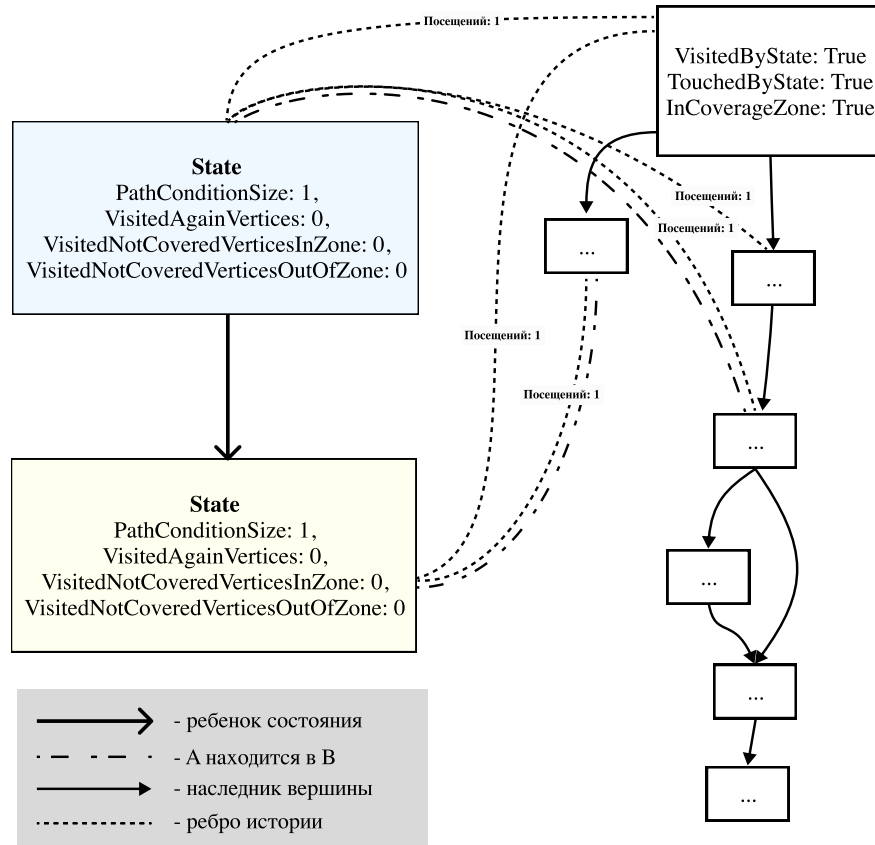


Рис. 1: Входной граф

Для каждого состояния нейронная сеть предсказывает вектор признаков:

1. NextInstructionIsUncoveredInZone — следующая инструкция находится в зоне покрытия, но не покрыта;
2. ChildNumberNormalized — количество состояний, когда-либо порожденных текущим, нормализованное к максимальному;

3. VisitedVerticesInZoneNormalized — количество посещенных инструкций в зоне покрытия, нормализованное к максимальному;
4. Productivity — отношение всех посещенных инструкций к количеству повторных посещений;
5. DistanceToReturnNormalized — расстояние до ближайшего return, нормализованное к максимальному;
6. DistanceToUncoveredNormalized — расстояние до ближайшего непокрытого блока, нормализованное к максимальному;
7. DistanceToNotVisitedNormalized — расстояние до ближайшего непосещенного блока, нормализованное к максимальному;
8. ExpectedWeight — референсное значение веса состояния.

4.3. Архитектура фреймворка

Фреймворк состоит из нескольких компонентов, отношения между которыми изображены на рисунке 2:

- Сервер обучения — служит в качестве игрового окружения;
- Класс Connector — обеспечивает соединение с сервером;
- Функция play_game — осуществляет взаимодействие с сервером через Connector;
- Класс Broker — Хранит результаты обучения, управляет соединениями с сервером;
- Genetic Learning Framework — использует play_game для оценивания агентов обучения;
- Statistics Module — сохраняет и отображает статистику обучения.

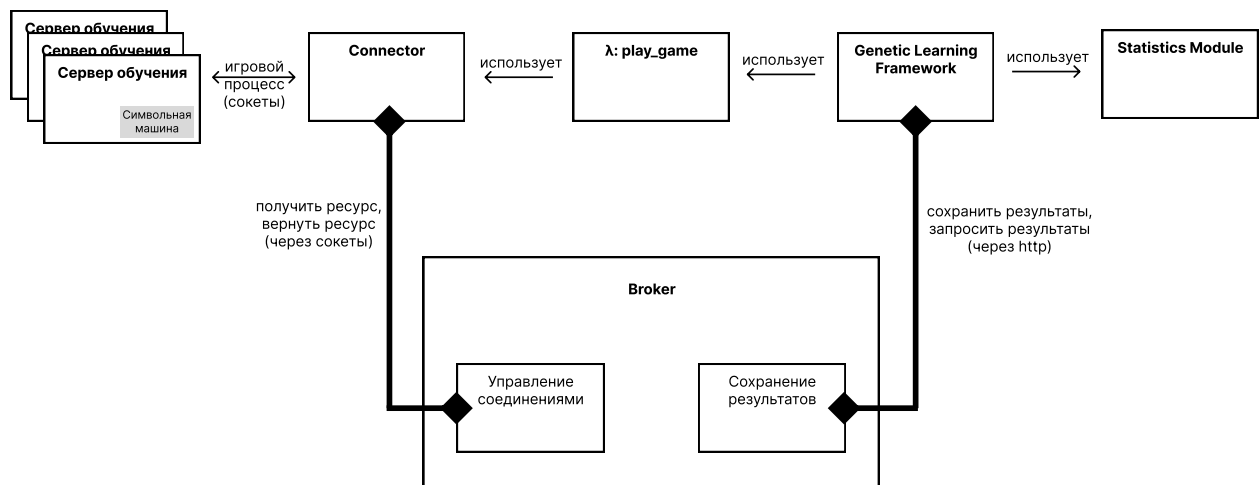


Рис. 2: Архитектура фреймворка

Протокол общения. Для реализации протокола общения с серверами обучения были выбраны сокеты. Логiku общения с сервером инкапсулирует класс Connector. Connector во время общения с сервером может получить и обработать сообщения, содержащее актуальное состояние графа исполнения, информацию о награде за шаг, предсказанный агентом-игроком, наименования карт, которые может сыграть агент, информацию о том, что игра окончена. Также Connector в процессе работы отправляет серверу сообщения о начале игры, о сделанном шаге, сообщение с запросом карт, сообщение для переключения режима работы на тестовую и валидационную выборки.

Одновременное обучение. Для поддержки одновременного обучения нескольких агентов был реализован брокер сокетов: когда очередной процесс готов осуществлять обучение, он соединяется с асинхронным брокером по http, запрашивает у него ресурс — сокет запущенного сервера обучения. По окончании обучения процесс возвращает ресурс, брокер уничтожает сервер.

Статистика, логгирование, таблицы с результатами обучения. Результаты игры каждого агента отправляются брокеру, в конце каждого поколения фреймворк обрабатывает, ранжирует и записывает результаты игр в таблицу. Также для оценки времени работы нейронной сети фреймворк собирает статистику работы всех нейронных сетей в по-

колении. Логи работы брокера, серверов разделены по уровням, записываются в общий файл.

4.4. Машинное обучение

Генетическое обучение. На рисунке 3 изображена структура обучения, реализованная во фреймворке. Сперва фреймворк генерирует нейронные сети с заданной архитектурой и случайными весами. Такие нейронные сети добавляются в общий пул вместе с предобученными для формирования первого поколения.

В процессе обучения для каждой игры агента вычисляется кортеж

$$\langle coverage, steps, tests, errors \rangle, \quad (1)$$

где *coverage* — покрытие в процентах, *steps* — количество шагов, сделанных агентом на карте, *tests* — количество сгенерированных тестов, *errors* — количество найденных ошибок.

Для вычисления *fitness*-функции агента обучения для каждого вектора из элементов кортежа с одинаковым индексом рассчитывается евклидово расстояние до идеального вектора. Таким образом получается кортеж расстояний до идеальных векторов, который используется как *fitness* в генетическом обучении.

Далее для подачи на вход генетического алгоритма нейронная сеть отображается в одномерный вектор, состоящий из весов ее слоев. Для формирования следующего поколения используются значения *fitness*, полученные на шаге оценки. В соответствии с этими значениями веса нейронных сетей будут или не будут использованы в качестве родителей.

Каждой нейронной сети соответствует значение *fitness*, в согласии с которым веса модели будут или не будут использованы для формирования следующего поколения. Далее вектор отображается обратно в нейронную сеть, значение *fitness* которой вновь оценивается во время игры с сервером.

Обучение с учителями. Для реализации обучения с учителями

был переиспользован код протокола общения, брокера и статистик, был реализован скрипт обучения. На вход скрипту подается массив моделей-учителей, каждый из которых оценивается на каждой карте. Все шаги учителей сохраняются чтобы далее использоваться в качестве массива целевых признаков для обучаемой модели. Для обучения на очередной карте выбираются шаги, соответствующие учителю с лучшим показателем на этой карте.

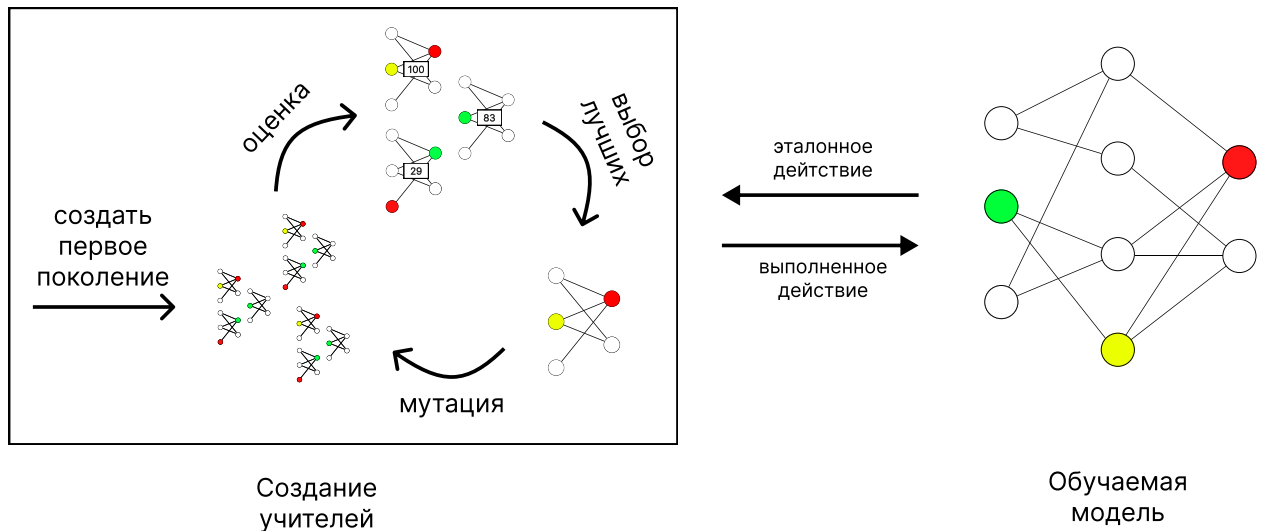


Рис. 3: Структура обучения

Ускорение работы нейронных сетей. Для ускорения работы нейронных сетей на время работы нейронная сеть и входные данные переносятся на GPU, где осуществляются необходимые вычисления.

5. Реализация

В данном разделе представлено описание деталей реализации разрабатываемого фреймворка для генетического обучения на языке PYTHON3. Исходный код можно посмотреть по ссылке в GitHub [20].

Использованные технологии:

Для реализации генетического обучения был выбрана библиотека PYGAD [3]: этот инструмент реализует базовые стратегии генетического обучения, позволяет определять свои, поддерживает ускорение обучение через использование нескольких потоков.

Обучение осуществлялось с использованием символьной машины V#. Для этого был написан сервер, осуществляющий операции с символьной машиной и принимающий команды и высылающий информацию с помощью сокетов на клиент обучения.

Для представления в памяти и обучения нейронных сетей использовалась библиотека PYTORCH [13]. PYTORCH создана для работы с нейронными сетями, содержит множество высокоуровневых утилит для обучения, импорта и экспорта нейронных сетей, позволяющих ускорить разработку.

Ускорение обучения. Для реализации параллельного обучения были использованы возможности PYGAD: внутри главной функции существует пул процессов, который используется для параллельной оценки fitness-функции нескольких агентов. Для переноса данных на GPU используются встроенные инструменты PYTORCH.

6. Эксперимент

Проверим применимость генетического обучения и графовых нейронных сетей (GNN) для решения задачи выбора путей.

6.1. Условия эксперимента

Для тестирования на платформе JVM были выбраны первые 200 тестов из проекта GUAVA [7] версии 28.0.1. Сравнение осуществлялось по тем 117 тестам, на которых завершились все 4 алгоритма.

6.2. Исследовательские вопросы

RQ1: Сравнимы ли результаты работы алгоритма с существующими подходами?

6.3. Метрики

RQ1: Сравнение с существующими алгоритмами будем производить по ряду параметров: среднее покрытие (больше-лучше), количество сделанных шагов для методов, покрытых на 100% (меньше-лучше), количество сгенерированных тестов для методов, покрытых на 100% (меньше-лучше), количество найденных ошибок (больше-лучше).

6.4. Результаты

В таблицах 1, 2, 3, 4 представлены результаты работы и сравнение результатов существующих эвристик с разработанным алгоритмом.

RQ1: Можно заметить, что хоть среднее покрытие разработанного алгоритма незначительно уступает некоторым методам (1), но при этом до 100% модель доходит в среднем за наименьшее количество шагов (2) и генерирует наименьшее количество тестов (3), в среднем генерирует меньше ошибок (4). Это может говорить о более узконаправленном поиске инструкций.

Таблица 1: Среднее покрытие

стратегия	Е	медиана	δ
BFS	80.87	100.0	32.43
FORK_DEPTH_RANDOM	80.65	100.0	32.39
GNN	80.65	100.0	32.88
FORK_DEPTH	80.87	100.0	32.43

Таблица 2: Шаги для методов, покрытых на 100%

стратегия	Е	медиана	δ
BFS	198.46	25.5	549.21
FORK_DEPTH_RANDOM	122.33	25.0	302.03
GNN	73.47	25.5	136.6
FORK_DEPTH	183.74	25.5	651.32

Таблица 3: Сгенерированные тестов для методов, покрытых на 100%

стратегия	Е	медиана	δ
BFS	4.29	1.0	9.9
FORK_DEPTH_RANDOM	3.05	1.0	5.48
GNN	1.96	1.0	2.53
FORK_DEPTH	2.4	1.0	3.19

Таблица 4: Ошибки для методов, покрытых на 100%

стратегия	Е	медиана	δ
BFS	0.9	0	3.63
FORK_DEPTH_RANDOM	0.85	0	4.06
GNN	0.52	0	2.31
FORK_DEPTH	2.2	0	13.34

7. Применение

Полученный алгоритм был запущен на символьной машине для JVM, показал результаты, сравнимые со встроенными алгоритмами и лучше. Данная работа является фундаментом для продолжения исследования применимости графовых нейронных сетей для задачи выбора путей исполнения.

Заключение

В результаты работы были выполнены следующие задачи:

1. Создан протокол общения с сервером обучения для получения сигнала об окончании взаимодействия, информации о награде за шаг и состоянии символьного исполнения во время обучения;
2. Создан фреймворк, использующий генетическое обучение для создания и обучения нейронных сетей во время взаимодействия с сервером обучения как с игровой средой;
3. Поддержана возможность одновременного обучения нескольких нейронных сетей;
4. Поддержана возможность использования GPU для ускорения работы нейронных сетей.

В будущем планируется пересмотреть архитектуру проекта, написать веб-сервис для просмотра результатов обучения, внедрить CI в проект.

Список литературы

- [1] Cooper Keith D., Torczon Linda. [Chapter 4 - Intermediate Representations](#) // Engineering a Compiler (Third Edition) / Ed. by Keith D. Cooper, Linda Torczon. — Philadelphia : Morgan Kaufmann, 2023. — P. 159–207. — URL: <https://www.sciencedirect.com/science/article/pii/B9780128154120000103>.
- [2] Enhancing Dynamic Symbolic Execution by Automatically Learning Search Heuristics / Sooyoung Cha, Seongjoon Hong, Jiseong Bak et al. // [IEEE Transactions on Software Engineering](#). — 2022. — Vol. 48, no. 9. — P. 3640–3663.
- [3] Gad Ahmed Fawzy. PyGAD: An Intuitive Genetic Algorithm Python Library // CoRR. — 2021. — Vol. abs/2106.06158. — arXiv : [2106.06158](#).
- [4] Alam Tanweer, Qamar Shamimul, Dixit Amit, Benaida Mohamed. Genetic Algorithm: Reviews, Implementations, and Applications. — 2020. — 2007.12673.
- [5] Godefroid Patrice, Levin Michael Y., Molnar David. SAGE: Whitebox Fuzzing for Security Testing: SAGE Has Had a Remarkable Impact at Microsoft. // [Queue](#). — 2012. — jan. — Vol. 10, no. 1. — P. 20–27. — URL: <https://doi.org/10.1145/2090147.2094081>.
- [6] The Graph Neural Network Model / Franco Scarselli, Marco Gori, Ah Chung Tsoi et al. // [IEEE Transactions on Neural Networks](#). — 2009. — Vol. 20, no. 1. — P. 61–80.
- [7] Guava. — <https://guava.dev>. — Accessed: 2023-09-23.
- [8] Heterogeneous Graph Attention Network / Xiao Wang, Houye Ji, Chuan Shi et al. // CoRR. — 2019. — Vol. abs/1903.07293. — arXiv : [1903.07293](#).

- [9] IntelliTest. — <https://learn.microsoft.com/en-us/visualstudio/test/intellitest-manual/?view=vs-2022>. — Accessed: 2023-09-23.
- [10] Kapus Timotej, Cadar Cristian. [Automatic testing of symbolic execution engines via program generation and differential testing](#) // 2017 32nd IEEE/ACM International Conference on Automated Software Engineering (ASE). — 2017. — P. 590–600.
- [11] [Learning to Explore Paths for Symbolic Execution](#) / Jingxuan He, Gishor Sivanrupan, Petar Tsankov, Martin Vechev // Proceedings of the 2021 ACM SIGSAC Conference on Computer and Communications Security. — CCS '21. — New York, NY, USA : Association for Computing Machinery, 2021. — P. 2526–2540. — URL: <https://doi.org/10.1145/3460120.3484813>.
- [12] Lengauer Thomas, Tarjan Robert Endre. A Fast Algorithm for Finding Dominators in a Flowgraph // [ACM Trans. Program. Lang. Syst.](#) — 1979. — jan. — Vol. 1, no. 1. — P. 121–141. — URL: <https://doi.org/10.1145/357062.357071>.
- [13] PyTorch: An Imperative Style, High-Performance Deep Learning Library / Adam Paszke, Sam Gross, Francisco Massa et al. // Advances in Neural Information Processing Systems 32. — Curran Associates, Inc., 2019. — P. 8024–8035. — URL: <http://papers.neurips.cc/paper/9015-pytorch-an-imperative-style-high-performance-deep-learning.pdf>.
- [14] A Survey of Symbolic Execution Techniques / Roberto Baldoni, Emilio Coppa, Daniele Cono D’elia et al. // [ACM Comput. Surv.](#) — 2018. — may. — Vol. 51, no. 3. — 39 p. — URL: <https://doi.org/10.1145/3182657>.
- [15] [SyML: Guiding Symbolic Execution Toward Vulnerable States Through Pattern Learning](#) / Nicola Ruaro, Kyle Zeng, Lukas Dresel et al. // Proceedings of the 24th International Symposium on Research

in Attacks, Intrusions and Defenses. — RAID '21. — New York, NY, USA : Association for Computing Machinery, 2021. — P. 456–468. — URL: <https://doi.org/10.1145/3471621.3471865>.

- [16] Symflower. — <https://symflower.com/en/>. — Accessed: 2023-09-23.
- [17] Watkins Christopher J. C. H., Dayan Peter. Q-learning // [Machine Learning](#). — 1992. — . — Vol. 8, no. 3. — P. 279–292. — URL: <https://doi.org/10.1007/BF00992698>.
- [18] Wu Jie, Zhang Chengyu, Pu Geguang. [Reinforcement Learning Guided Symbolic Execution](#) // 2020 IEEE 27th International Conference on Software Analysis, Evolution and Reengineering (SANER). — 2020. — P. 662–663.
- [19] V#. — <https://github.com/VSharp-team/VSharp>. — Accessed: 2023-09-23.
- [20] V# fork. — https://github.com/emnigma/VSharp/tree/batching_in_common_model_training. — Accessed: 2023-09-13.